

© 2025 г. А.И. МАЛИКОВ, д-р физ.-мат. наук (aimalikov@kai.ru)  
(Казанский национальный исследовательский технический  
университет им. А.Н. Туполева – КАИ)

## ОЦЕНИВАНИЕ СОСТОЯНИЯ И СТАБИЛИЗАЦИЯ НЕПРЕРЫВНО-ДИСКРЕТНЫХ СИСТЕМ С НЕОПРЕДЕЛЕННЫМИ ВОЗМУЩЕНИЯМИ<sup>1</sup>

Рассматривается нелинейная непрерывно-дискретная система, подверженная воздействию ограниченных внешних возмущений. На основе метода матричных систем сравнения и техники дифференциально-разностных линейных матричных неравенств решаются задачи нахождения эллипсоида, ограничивающего состояния, подавления начальных отклонений и неопределенных возмущений с помощью обратной связи по состоянию, доступному в дискретные моменты времени. Предлагается способ синтеза дискретного управления, обеспечивающего на конечном интервале подавление начальных отклонений и влияние неопределенных ограничений по  $L_\infty$  норме возмущений.

*Ключевые слова:* система с непрерывной и дискретной подсистемами, липшицевые нелинейности, неопределенные возмущения, оценивание состояния, дискретное управление, дифференциально-разностные линейные матричные неравенства.

DOI: 10.31857/S0005231025030013, EDN: IEZXZO

### 1. Введение

Обыкновенные дифференциально-разностные уравнения давно стали предметом исследования [1–6] в связи с изучением уравнений с частными производными и уравнений с запаздыванием. В литературе отмечалось (см. [3, 7] и ссылки в них), что многие сложные инженерные системы, представленные уравнениями в частных производных или с запаздыванием, можно аппроксимировать или представить более простыми моделями в виде дифференциально-разностных уравнений. Взаимосвязанные дифференциально-разностные уравнения также являются важным классом потому, что они представляют модели систем, в которых используются цифровые вычисления на компьютерах [3] или дискретные данные, получаемые через коммуникационную сеть [1] для активного управления объектами с непрерывным

---

<sup>1</sup> Работа выполнена частично за счет предоставленного в 2024 году Академией наук Республики Татарстан гранта на осуществление фундаментальных и прикладных научных работ.

временем. Они также возникают при моделировании производственных процессов, дорожного движения, биологических процессов в природе, которые развиваются непрерывно во времени, а также управляются дискретными событиями, которые изменяют их параметры или состояние [3].

Дифференциально-разностные уравнения относятся к классу гибридных систем, так как представляют разнородные взаимодействующие процессы, происходящие в непрерывном и дискретном времени. В последние годы большое внимание уделяется исследованию устойчивости систем с дискретными данными, которые также могут быть представлены дифференциально-разностными уравнениями (см. обзор [8] и ссылки в нем). Сюда же относятся задачи управления системой с непрерывным временем с помощью дискретного регулятора или управления сетевыми системами, в которых многие компоненты имеют динамику в непрерывном времени, в то время как другие развиваются только в дискретные моменты времени. В [8] рассмотрены существующие подходы к анализу устойчивости и синтезу систем с дискретными данными, в которых используется техника линейных матричных неравенств (ЛМН). Было отмечено, что несмотря на значительные достижения в этой области, проблемы получения конструктивных методов анализа устойчивости остаются открытыми даже для случая линейных систем.

При синтезе дискретного управления для непрерывных систем стремятся обеспечить устойчивость [14, 15] или оптимальное качество по  $H_2$  или  $H_\infty$  критериям [16–18]. Способ синтеза динамического регулятора с обратной связью по выходу, обеспечивающего устойчивость для класса линейных непрерывных систем с апериодическими импульсами, предложен в [14]. В [15] решается задача синтеза дискретного робастного управления на основе наблюдателя из условий устойчивости, установленных с использованием векторной функции Ляпунова для 2D систем. На основе принципа оптимальности Беллмана в [18] предлагается способ синтеза оптимальных по  $H_2$  и  $H_\infty$  динамических регуляторов полного порядка с обратной связью по выходу периодических дискретных данных для линейных инвариантных систем с непрерывным временем. Условия устойчивости и показатели качества линейных систем с дискретными регуляторами сформулированы в виде ЛМН, зависящих от времени, которые могут быть решены численно. В [9] для непрерывных систем с липшицевыми нелинейностями, неопределенными возмущениями и дискретным управлением предложены способы оценивания в виде эллипсоидов, ограничивающих состояния для процессов с начальными данными из заданного эллипсоида. Получены условия ограниченности на конечном интервале в виде разрешимости задачи оптимизации с дифференциально-разностными линейными матричными неравенствами. При кусочно-линейной аппроксимации решения дифференциальных линейных матричных неравенств (ДЛМН) задачи оценивания состояния и синтеза дискретного управления сведены к совокупности задач оптимизации с ЛМН, для численного решения которых применены методы полуопределенного программирования. Развитый в [9] подход был

применен в [10–13] для оценивания состояния и синтеза управления нелинейных систем с дискретными измерениями.

Во всех указанных работах по анализу устойчивости, показателей качества и синтезу дискретного управления для непрерывных систем показывается то, что определяющая изменение управления дискретная часть имеет частный вид и представлена, как правило, линейным разностным уравнением с постоянными коэффициентами. При этом не учитываются внешние возмущения, а влияние дискретной подсистемы на непрерывную осуществляется только через управление. В [7] предложено новое условие устойчивости для связанных дифференциально-функциональных уравнений, построен функционал Ляпунова–Красовского для частного случая линейных дифференциально-разностных уравнений со взаимодействием не только по управлению. Условие устойчивости представлено в форме ЛМН, удобной для численного расчета. Там же отмечено, что проблема имеет дополнительные трудности, которые необходимо преодолеть, так как задачи анализа устойчивости и синтеза управления требуют использования смешанных методов непрерывного и дискретного времени из-за гибридного характера всей системы. Кроме того, управление обычно получается в виде разрывной функции в точках выборки дискретной подсистемы. Следует отметить что в последние годы появились работы [19–23], в которых предлагаются другие подходы к решению задач стабилизации дискретно-непрерывных систем.

Цель данной статьи – представить способы оценивания состояния в виде ограничивающего эллипсоида и синтеза дискретного управления для класса непрерывно-дискретных систем с липшицевыми нелинейностями и неопределенными ограниченными по норме возмущениями. Предложенный в [24] и развитый в [25, 26] подход с использованием квадратичной функции Ляпунова с изменяющимися коэффициентами и ДЛМН применяется для решения задач оценивания состояния, синтеза дискретного управления для указанного класса систем. В результате задачи оценивания состояния на конечном интервале и синтеза дискретного управления сводятся к совокупности задач оптимизации с ЛМН, получающихся при кусочно-линейной аппроксимации решения ДЛМН [27]. Результаты иллюстрируются на примере.

## 2. Непрерывно-дискретная система

Рассматривается система, состоящая из непрерывной и дискретной подсистем, взаимодействующих между собой:

$$(1) \quad \begin{aligned} \dot{x}_1(t) &= A_1 x_1(t) + \Phi_1 \varphi_1(t, x_1(t)) + A_{12} x_2(t_k) + D_1 w_1(t), \\ x_2(t_{k+1}) &= A_2 x_2(t_k) + \Phi_2 \varphi_2(t_k, x_2(t_k)) + A_{21} x_1(t_k) + D_2 w_2(t_k), \end{aligned}$$

где  $x_1 \in R^{n_1}$  – вектор состояния непрерывной подсистемы,  $x_2 \in R^{n_2}$  – вектор состояния дискретной подсистемы,  $x_2(t) = x_2(t_k)$  при  $t \in [t_k, t_{k+1})$ ,  $t_k \in \Theta = \{t_k, t_k = t_{k-1} + h, k = 1, \dots, N\}$ ,  $h$  – шаг изменения дискретного времени,

$w_1(t) \in W_1 \subset \mathbb{R}^{r_1}$ ,  $w_2(t) \in W_2 \subset \mathbb{R}^{r_2}$  – векторы неопределенных внешних возмущений,  $A_i \in \mathbb{R}^{n_i \times n_i}$ ,  $A_{12} \in \mathbb{R}^{n_1 \times n_2}$ ,  $A_{21} \in \mathbb{R}^{n_2 \times n_1}$ ,  $D_i \in \mathbb{R}^{n_i \times r_i}$ ,  $\Phi_i \in \mathbb{R}^{n_i \times q_i}$  – известные матрицы с постоянными элементами,  $t \in T$ ,  $T = [t_0, t_N]$ ,  $t_0, t_N$  – начальный и конечный моменты времени.

Нелинейные векторные функции  $\varphi_i(t, x_i)$  являются непрерывными, ограниченными и удовлетворяют условию

$$(2) \quad \|\varphi_i(t, x_i)\|^2 \leq \mu_i \|C_{fi}x_i\|^2 \quad \forall t \in T, \quad x_i \in \mathbb{R}^{n_i}, i = 1, 2,$$

где  $C_{fi} \in \mathbb{R}^{q_i \times n_i}$  – известные матрицы с постоянными элементами. Здесь и далее  $\|\cdot\|$  означает евклидову норму вектора,  $\mu_i > 0$ ,  $i = 1, 2$  – известные константы.

Неопределенные возмущения являются непрерывными ограниченными в каждый момент времени функциями:

$$(3) \quad W_i = \left\{ w_i(t) \in \mathbb{R}^{r_i} : \|w_i(t)\|^2 \leq 1 \quad \forall t \in T \right\}, \quad i = 1, 2.$$

### 3. Задача оценивания состояния

Пусть в начальный момент времени состояния  $x_i(t_0) = x_{i0}$  непрерывной и дискретной подсистем принадлежат заданным эллипсоидам

$$(4) \quad E(Q_{i0}) = \left\{ x_i \in \mathbb{R}^{n_i} : x_i^T Q_{i0}^{-1} x_i \leq 1 \right\},$$

где  $Q_{i0}$  ( $i = 1, 2$ ) – заданные положительно определенные матрицы.

Обозначим:  $x(t) = (x_1^T(t), x_2^T(t) = x_2^T(t_k))^T$  – вектор состояния непрерывно-дискретной системы.

Введем следующее

*Определение 1.* Эллипсоид  $E(Q_x(t)) = \{x \in \mathbb{R}^n : x^T Q_x^{-1}(t)x \leq 1\}$  является ограничивающим для процессов  $x(t, t_0, x_0)$  непрерывно-дискретной системы (1), стартующих из начального эллипсоида  $E(Q_{x0} = \text{diag}(Q_{10}, Q_{20}))$ , если  $x(t, t_0, x_0) \in E(Q_x(t))$  при всех  $t \in [t_0, t_N]$ , нелинейностях из (2) и возмущениях из (3).

Решается следующая

*Задача 1.* Требуется найти на рассматриваемом интервале  $[t_0, t_N]$  матрицу  $Q_x(t)$  эллипсоида  $E(Q_x(t))$ , ограничивающего множество процессов исходной системы (1) с начальными данными из (4), нелинейностями из (2) и возмущениями из (3).

Отметим, что ограничивающий эллипсоид будет представлять собой верхнюю оценку области достижимости рассматриваемой системы.

Для решения данной задачи введем расширенный вектор состояния  $z(t) = (x_1^T(t), x_2^T(t) = x_2^T(t_k), x_3^T(t) = x_1^T(t_k))^T$ , на интервалах непрерывности  $[t_k, t_k + h)$  компоненты  $x_1(t)$  которого изменяются согласно уравнению (1),

а компоненты  $x_2(t), x_3(t)$  остаются постоянными. В дискретные моменты  $t_k \in \Theta$  компоненты  $x_2(t), x_3(t)$  изменяются скачком согласно уравнению (2) и соотношению  $x_3(t_k) = x_1(t_k)$ . Теперь исходную непрерывно-дискретную систему (1) можно представить в виде непрерывной системы (5) с импульсами (6):

$$(5) \quad \dot{z}(t) = A_{z1}z + \Phi_{z1}\varphi(t, z(t)) + D_{z1}w(t), \quad t \neq t_k,$$

$$(6) \quad z(t_{k+1}) = A_{z2}z(t_k) + \Phi_{z2}\varphi(t_k, z(t_k)) + D_{z2}w(t_k), \quad t_k \in \Theta,$$

где

$$w(t) = (w_1^T(t), w_2^T(t))^T, \quad A_{z1} = \begin{bmatrix} A_1 & 0 & A_{12} \\ 0 & 0 & 0 \\ 0 & 0 & 0 \end{bmatrix}, \quad D_{z1} = \begin{bmatrix} D_1 \\ 0 \\ 0 \end{bmatrix},$$

$$\Phi_{z1} = \begin{bmatrix} \Phi_1 \\ 0 \\ 0 \end{bmatrix}, \quad A_{z2} = \begin{bmatrix} I & 0 & 0 \\ 0 & A_2 & A_{21} \\ I & 0 & 0 \end{bmatrix}, \quad D_{z2} = \begin{bmatrix} 0 \\ D_2 \\ 0 \end{bmatrix}, \quad \Phi_{z2} = \begin{bmatrix} 0 \\ \Phi_2 \\ 0 \end{bmatrix}.$$

При этом

$$z(t_0) = z_0 = (x_{10}^T, x_{20}^T, x_{10}^T)^T \in E(Q_0), \quad Q_0 = \text{diag}(Q_{10}, Q_{20}, Q_{10}),$$

$$x_1(t) = C_1z(t), \quad x_2(t) = C_2z(t),$$

$$C_1 = (I_{n_1} \quad 0_{n_1 \times (n_2+n_1)}), \quad C_2 = (0_{n_2 \times n_1} \quad I_{n_2} \quad 0_{n_2 \times n_1}),$$

$I_{n_i}$  – единичная ( $n_i \times n_i$ )-матрица ( $i = 1, 2$ ).

Сначала будем решать задачу нахождения матрицы  $Q(t)$  эллипсоида, ограничивающего состояния расширенной системы (5), (6). При этом матрица  $Q_x(t)$  определится как  $Q_x = C_{12}Q(t)C_{12}^T$ , где  $C_{12} = (C_1^T, C_2^T)^T$ .

На интервалах непрерывности  $[t_k, t_{k+1})$  ( $k = 0, 1, \dots, N-1$ ) для нахождения матрицы  $Q(t)$  эллипсоида  $E(Q(t))$ , ограничивающего состояния расширенной системы, будут использоваться теоремы 1 и 2 из [25], которые здесь приводятся в единой формулировке для рассматриваемого ограничения на нелинейности.

*Теорема 1* (см. [25]). *Для того чтобы эллипсоид  $E(Q(t))$  являлся ограничивающим для траекторий системы (5), стартующих из начального эллипсоида  $E(Q_k)$ , достаточно выполнения при  $t \in [t_k, t_{k+1})$ ,  $\beta_1 > 0$ ,  $\alpha_1 > 0$  одного из условий:*

1) *существует решение  $Q(t) = Q(t, t_k, Q_k) > 0$  дифференциального матричного уравнения*

$$(7) \quad \begin{aligned} dQ(t)/dt = & A_{z1}Q + QA_{z1}^T + \alpha_1Q + \frac{1}{\alpha_1}D_{z1}D_{z1}^T + \\ & + \beta_1\Phi_{z1}\Phi_{z1}^T + \frac{\mu_1}{\beta_1}QC_1^TC_{f1}^TC_{f1}C_1Q; \end{aligned}$$

2) существует решение  $Q(t) = Q(t, t_k, Q_k) > 0$  дифференциального линейного (при фиксированном  $\alpha_1 > 0$ ) матричного неравенства

$$(8) \quad \begin{bmatrix} -dQ(t)/dt + A_{z1}Q + QA_{z1}^T + \alpha_1 Q + \beta_1 \Phi_{z1} \Phi_{z1}^T & D_{z1} & QC_1^T C_{f1}^T \\ & D_{z1}^T & -\alpha_1 I & 0 \\ & C_{f1} C_1 Q & 0 & -\frac{\beta_1}{\mu_1} I \end{bmatrix} \leq 0.$$

Здесь  $Q(t_0) = Q_0$ .

Доказательство теоремы 1 представлено в [25].

В [9] получены аналитические выражения для свободных параметров  $\beta_1, \alpha_1$ :

$$\beta_1(Q(t)) = + \sqrt{\frac{\mu_1 \text{trace}(Q(t) C_1^T C_{f1}^T C_{f1} C_1 Q(t))}{\text{trace}(\Phi_{z1} \Phi_{z1}^T)}},$$

$$\alpha_1(Q(t)) = \sqrt{\frac{\text{trace}(D_{z1} D_{z1}^T)}{\text{trace}(Q(t))}},$$

при которых получаются локально оптимальные оценки по критерию следа матрицы  $Q(t) = Q(t, t_k, Q_k)$ , определяющего сумму длин полуосей ограничивающего эллипсоида.

Процедура для вычисления матрицы  $Q(t)$  эллипсоида, ограничивающего состояния (5) с использованием ДЛМН (8), сводится (при каждом фиксированном  $\alpha_1$  и варьируемой переменной  $\beta_1$ ) в результате дискретизации к совокупности задач оптимизации  $\text{trace}(Q(t_k)) \rightarrow \min_{Q(t_k), \beta_1(t_k)}$  с ограничениями в виде ЛМН, представлена в конце данного раздела.

В моменты  $t_{k+1}, k = 0, \dots, N-1$  поведение системы представлено разностным уравнением (6). В этом случае для вычисления матрицы  $Q(t_{k+1})$  эллипсоида, ограничивающего состояния расширенной системы в дискретные моменты времени  $t_{k+1}$ , будет использоваться теорема 1 из [26], которая здесь приводится применительно к разностному уравнению (6).

*Теорема 2* (см. [26]). *Для того чтобы эллипсоид  $E(Q(t_{k+1}))$  ограничивал состояния системы в момент  $t_{k+1}$  при условии, что  $z(t_k) \in E(Q(t_k))$ , достаточно выполнения при  $0 < \alpha_2 < 1$  одного из условий:*

1) существует решение  $Q(t_{k+1}) > 0$  разностного матричного уравнения

$$(9) \quad Q(t_{k+1}) = A_{z2} Q(t_k) \left[ \alpha_2 Q(t_k) - \frac{\mu_2}{\beta_2} Q(t_k) C_2^T C_{f2}^T C_{f2} C_2 Q(t_k) \right]^{-1} Q(t_k) A_{z2}^T +$$

$$+ \frac{1}{1 - \alpha_2} D_{z2} D_{z2}^T + \beta_2 \Phi_{z2} \Phi_{z2}^T;$$

2) существует решение  $Q(t_{k+1}) > 0$  разностного линейного матричного неравенства (РЛМН)

$$(10) \quad \begin{bmatrix} Q(t_{k+1}) - \beta_2 \Phi_{z_2} \Phi_{z_2}^T & A_{z_2} Q(t_k) & D_{z_2} & 0 \\ Q(t_k) A_{z_2}^T & \alpha_2 Q(t_k) & 0 & Q(t_k) C_2^T C_{f_2}^T \\ D_{z_2}^T & 0 & (1 - \alpha_2) I & 0 \\ 0 & C_{f_2} C_2 Q(t_k) & 0 & \frac{\beta_2}{\mu_2} I \end{bmatrix} \geq 0.$$

Доказательство теоремы для дискретной системы (6) с нелинейностями из (2) и неопределенными возмущениями из (3) представлено в [26].

Будем предполагать, что дискретное время изменяется с постоянным шагом  $t_{k+1} - t_k = h = \text{const}$ ,  $k = 1, \dots, N$ . Отметим, что случай изменения дискретного времени с изменяющимся, но известным шагом  $h_k$  может быть рассмотрен аналогично. Случай, когда  $h_k$  неизвестны и могут изменяться в заданном диапазоне  $h_k \in [h_{\min}, h_{\max}]$ , требует отдельного рассмотрения.

Итак, для непрерывно-дискретой системы, в которой дискретное время изменяется с постоянным шагом, справедливо следующее утверждение.

*Теорема 3. Эллипсоид  $E(Q(t))$ , где  $Q(t) = Q(t, t_0, Q_0)$  – решение матричной системы дифференциально-разностных уравнений (7), (9) или задачи оптимизации  $\text{trace}(Q(t, t_0, Q_0)) \rightarrow \min$  с ограничениями ДЛМН (8) и РЛМН (10), будет ограничивающим для состояний системы (5), (6) и состояний исходной непрерывно-дискретой системы (1) при всех нелинейностях из (2) и возмущениях из (3).*

Доказательство основывается на последовательном применении теоремы 1 на интервалах непрерывности  $[t_k, t_{k+1})$  ( $k = 0, 1, \dots, N - 1$ ) для получения матрицы  $Q(t, t_k, Q(t_k)) > 0$  эллипсоида, ограничивающего состояние  $z(t, t_k, z(t_k))$  системы (5), (6) с начальными данными из эллипсоида с матрицей  $Q(t_k)$  при всех нелинейностях из (2) и возмущениях из (3), и применении теоремы 2 в точках  $t_{k+1}$ , ( $k = 0, 1, \dots, N - 1$ ) для получения матрицы  $Q(t_{k+1}) > 0$ , ограничивающей состояние  $z(t_{k+1}, t_k, z(t_k))$  системы (5), (6) в момент  $t_{k+1}$  при условии  $z(t_k) \in E(Q(t_k))$ .

Таким образом, при периодическом изменении дискретного времени состояние системы (5), (6) с начальными данными из эллипсоида  $E(Q_0)$  будет ограничено эллипсоидом с матричной функцией  $Q(t, t_0, Q_0)$ , являющейся решением матричной системы сравнения (7) с импульсами (9) или задачи оптимизации  $\text{trace}(Q(t, t_0, Q_0)) \rightarrow \min$  с ограничениями ДЛМН (8) и РЛМН (10) при  $t \in T$ . При этом матрица  $Q_x(t, t_0, Q_0)$  определится как  $Q_x(t, t_0, Q_0) = C_{12} Q(t, t_0, Q_0) C_{12}^T$ , где  $C_{12} = (C_1^T, C_2^T)^T$ .

При численном решении задачи оптимизации с ДЛМН (8) проводится дискретизация на рассматриваемом интервале  $[t_0, t_N]$  [27]. Производная  $dQ(t)/dt$  на интервалах  $[t_k, t_{k+1})$  считается постоянной и представляется как  $dQ(t)/dt = Z(t_k)$ , где  $t_k = t_0 + kh$ ,  $k = 1, \dots, N$ , и  $N$  есть целая часть отно-

шения  $(t_N - t_0)/h$ . Тогда для  $t \in [t_k, t_{k+1})$  матрица  $Q(t)$  определится как

$$(11) \quad Q(t) = Q(t_k) + (t - t_k)Z(t_k),$$

причем  $Q(t_0) = Q_0$ . Для того чтобы матрица  $Q(t)$  удовлетворяла неравенству  $Q(t) > 0$  и ДЛМН (8) при всех  $t \in [t_k, t_{k+1})$ , необходимо и достаточно, чтобы она удовлетворяла им в двух крайних точках  $t_k$  и  $t_k + h$ , т.е. при каждом  $k = 0, \dots, N - 1$  одновременно должны выполняться неравенства [27]:

$$(12) \quad Q(t_k) > 0, \quad Q(t_k + h) > 0,$$

$$(13) \quad \begin{bmatrix} -Z(t_k) + F(Q(t_k)) + \beta_1 \Phi_{z1} \Phi_{z1}^T & D_{z1} & Q(t_k) C_1^T C_{f1}^T \\ D_{z1}^T & -\alpha_1 I & 0 \\ C_{f1} C_1 Q(t_k) & 0 & -\frac{\beta_1}{\mu_1} I \end{bmatrix} \leq 0,$$

$$(14) \quad \begin{bmatrix} -Z(t_k) + F(Q(t_k + h)) + \beta_1 \Phi_{z1} \Phi_{z1}^T & D_{z1} & Q(t_k + h) C_1^T C_{f1}^T \\ D_{z1}^T & -\alpha_1 I & 0 \\ C_{f1} C_1 Q(t_k + h) & 0 & -\frac{\beta_1}{\mu_1} I \end{bmatrix} \leq 0,$$

где  $Q(t_k + h) = Q(t_k) + hZ(t_k) = Q(t_{k+1} - 0)$ ,  $F(G) = A_{z1}G + GA_{z1}^T + \alpha_1 G$ .

В результате линейной аппроксимации (11) решения ДЛМН (8) нахождение матрицы  $Q(t) > 0$  эллипсоида, ограничивающего состояния системы сводится к последовательному решению совокупности задач оптимизации:  $\text{trace}(Q(t_{k+1})) \rightarrow \min_{Q(t_{k+1}) > 0, \beta_1(t_{k+1}) > 0}$  при ЛМН ограничениях (10), (12)–(14) для  $k = 0, \dots, N - 1$ . На первой итерации при  $k = 0$  по заданной матрице  $Q(t_0) = Q_0$  в результате решения указанной задачи оптимизации с ЛМН вычисляются матрицы  $Q(t_0 + h)$  и  $Q(t_1)$  с минимальным следом, которые определяют матрицу эллипсоида, ограничивающую состояния системы (5), (6) на интервале  $[t_0, t_1]$ . Затем при  $k = 1, \dots, N - 1$  по матрице  $Q(t_k)$  вычисляются матрицы  $Q(t_k + h)$  и  $Q(t_{k+1})$ , которые определяют матрицу эллипсоида, ограничивающую состояния системы (5), (6) на последующих интервалах  $[t_k, t_{k+1}]$ .

Следует отметить, что для численного решения на каждой итерации задач оптимизации с ЛМН могут использоваться существующие программные средства полуопределенного программирования (CVX, Sedumi, Yalmip и др.).

#### 4. Задача синтеза дискретного управления, обеспечивающего подавление начальных отклонений и неопределенных возмущений непрерывно-дискретной системы

Рассматривается непрерывно-дискретная система (1) с дискретным управлением:

$$(15) \quad \begin{aligned} \dot{x}_1(t) &= A_1 x_1(t) + B_1 u(t_k) + \Phi_1 \varphi_1(t, x_1(t)) + A_{12} x_2(t_k) + D_1 w_1(t), \\ x_2(t_{k+1}) &= A_2 x_2(t_k) + B_2 u(t_k) + \Phi_2 \varphi_2(t_k, x_2(t_k)) + A_{21} x_1(t_k) + D_2 w_2(t_k). \end{aligned}$$

*Задача 2. Задача состоит в нахождении управления в виде обратной связи по состоянию, доступному в дискретные моменты времени  $t_k$ ,  $k = 0, 1, \dots, N-1$ , стабилизирующего замкнутую систему и подавляющего начальные отклонения и воздействие внешних возмущений в смысле минимальности ограничивающего эллипсоида для состояний непрерывно-дискретной системы.*

Управление для каждой подсистемы берется в форме обратной связи по состоянию всей системы в моменты времени  $t_k$

$$(16) \quad u_i(t) = K_{i1}(t_k)x_1(t_k) + K_{i2}(t_k)x_2(t_k), \quad t \in [t_k, t_{k+1}), \quad i = 1, 2.$$

Здесь  $K_{ij}(t_k) - (m_i \times n_j)$ ,  $i = 1, 2$ ;  $j = 1, 2$  – матрицы коэффициентов усиления дискретных регуляторов,  $k = 0, 1, \dots, N-1$ .

Управление  $u_i(t)$  должно удовлетворять ограничению

$$(17) \quad u_i(t) \in \{u_i : u_i^T U_i^{-1} u_i \leq 1\}, \quad t \in T,$$

где  $U_i$  – заданная симметрическая положительно определенная  $(m_i \times m_i)$ -матрица ( $i = 1, 2$ ).

Представим систему (15) с дискретным управлением (16) в следующем виде:

$$(18) \quad \dot{z}(t) = A_{z1}z + \Phi_{z1}\varphi_1(t, z(t)) + D_{z1}w(t), \quad t \neq t_k,$$

$$(19) \quad z(t_{k+1}) = A_{z2}z(t_k) + \Phi_{z2}\varphi_2(t_k, z(t_k)) + D_{z2}w(t_k), \quad t_k \in \Theta,$$

где  $z(t) = (x_1^T(t), x_2^T(t_k), x_1^T(t_k), u^T(t_k))^T$  – вектор состояния размерности  $n = n_1 + n_2 + n_1 + m$ ,  $u(t_k) = (u_1^T(t_k), u_2^T(t_k))^T$  – вектор управления размерности  $m = m_1 + m_2$ ,  $t \in [t_k, t_{k+1})$ ,

$$A_{z1} = \begin{bmatrix} A_1 & A_{12} & 0 & B_1 \\ 0 & 0 & 0 & 0 \\ 0 & 0 & 0 & 0 \\ 0 & 0 & 0 & 0 \\ 0 & 0 & 0 & 0 \end{bmatrix}, \quad A_{z2} = \begin{bmatrix} I & 0 & 0 & 0 \\ 0 & A_2 & A_{21} & B_2 \\ I & 0 & 0 & 0 \\ 0 & K_{12} & K_{11} & 0 \\ 0 & K_{22} & K_{21} & 0 \end{bmatrix},$$

$$\Phi_{z1} = \begin{bmatrix} \Phi_1 \\ 0 \\ 0 \\ 0 \\ 0 \end{bmatrix}, \quad D_{z1} = \begin{bmatrix} D_1 \\ 0 \\ 0 \\ 0 \\ 0 \end{bmatrix},$$

$$\Phi_{z2} = \begin{bmatrix} 0 \\ \Phi_2 \\ 0 \\ 0 \\ 0 \end{bmatrix}, \quad D_{z2} = \begin{bmatrix} 0 \\ D_2 \\ 0 \\ 0 \\ 0 \end{bmatrix}, \quad K = \begin{bmatrix} K_{12}(t_k) & K_{11}(t_k) \\ K_{22}(t_k) & K_{21}(t_k) \end{bmatrix}.$$

Задача синтеза управления для системы (18), (19) с учетом рассмотренного в разделе 3 способа численного решения ДЛМН (8) сводится к задаче оптимизации при ограничениях в виде разностных линейных матричных неравенств. В качестве критерия берется след матрицы  $Q(t_k)$ , определяющий размер эллипсоида  $E(Q(t_k))$ , ограничивающего состояния  $z(t_k)$  для всех  $t_k$ ,  $k = 1, \dots, N$ .

Матрица  $K$  коэффициентов усиления регуляторов входит только в разностное уравнение (6). Представим (6) в следующем виде:

$$(20) \quad z(t_{k+1}) = (\bar{A}_{z2} + \bar{B}KC)z(t_k) + \Phi_{z2}\varphi(t_k, z(t_k)) + D_{z2}w(t_k), \quad t_k \in \Theta,$$

$$\text{где } \bar{A}_{z2} = \begin{bmatrix} I & 0 & 0 & 0 \\ 0 & A_2 & A_{21} & B_2 \\ I & 0 & 0 & 0 \\ 0 & 0 & 0 & 0 \\ 0 & 0 & 0 & 0 \end{bmatrix}, \bar{B} = \begin{bmatrix} 0 & 0 \\ 0 & 0 \\ 0 & 0 \\ I_{m_1} & 0 \\ 0 & I_{m_2} \end{bmatrix}, C = \begin{bmatrix} 0 & I_{n_2} & 0 & 0 & 0 \\ 0 & 0 & I_{n_1} & 0 & 0 \end{bmatrix}.$$

Справедлива следующая

*Теорема 4.* Пусть при некоторых  $\alpha_1, \beta_1, \alpha_2, \beta_2 > 0$  и всех  $t_k$ ,  $k = 0, 1, \dots, N-1$  найдется решение  $Q(t_{k+1}) > 0$ ,  $Q(t_{k+1} - 0) = Q(t_k + h) = Q(t_k) + hZ(t_k) > 0$ ,  $Y(t_k)$  задачи

$$\text{trace}[Q(t_{k+1})] \rightarrow \min$$

при ограничениях (12)–(14) и (21), (22):

$$(21) \quad \begin{bmatrix} Q(t_{k+1}) - \beta_2 \Phi_{z2} \Phi_{z2}^T & \bar{A}_{z2} Q(t_k) C^T + B Y_k & D_{z2} & 0 \\ C Q(t_k) \bar{A}_{z2}^T + Y_k^T \bar{B}^T & \alpha_2 C Q(t_k) C^T & 0 & C Q(t_k) C_2^T C_{f2}^T \\ D_{z2}^T & 0 & (1 - \alpha_2) I & 0 \\ 0 & C_{f2} C_2 Q(t_k) C^T & 0 & \frac{\beta_2}{\mu_2} I \end{bmatrix} \geq 0,$$

$$(22) \quad \begin{pmatrix} U & Y_k \\ Y_k^T & C Q(t_k) C^T \end{pmatrix} \geq 0,$$

где минимизация проводится по матричным переменным  $Q(t_{k+1}) \in \mathbb{R}^{n \times n}$ ,  $Y_k \in \mathbb{R}^{m \times (n_2 + n_1)}$ ,  $Z(t_k) \in \mathbb{R}^{n \times n}$ , скалярным переменным  $\beta_1(t_k)$ ,  $\beta_2(t_k) > 0$ . Тогда матрица коэффициентов дискретного управления по состоянию, стабилизирующего непрерывно-дискретную систему, определится как  $K(t_k) = Y_k (C Q(t_k) C^T)^{-1}$ . При этом ошибки стабилизации будут оцениваться ограничивающим для вектора состояния  $z(t)$  эллипсоидом, матрица  $Q(t)$  которого определится согласно (11).

Отметим, что матрица  $C Q(t_k) C^T$  будет положительно определенной, так как является средним блоком размерности  $(n_2 + n_1) \times (n_2 + n_1)$  матрицы  $Q(t_k)$ .

## 5. Иллюстративный пример

Рассматривается непрерывно-дискретная система (15) с нелинейностями  $\varphi_i(x_i)$ ,  $i = 1, 2$  из (2), возмущениями  $w_i(t)$ ,  $i = 1, 2$  из (3) и следующими значениями параметров:

$$A_1 = \begin{bmatrix} 0 & 1 \\ 0 & -5,04 \end{bmatrix}, \quad A_{12} = \begin{bmatrix} 0 & 0 \\ 1 & 0 \end{bmatrix}, \quad B_1 = \begin{bmatrix} 0 & 0 \\ 1,36 & 0 \end{bmatrix},$$

$$\Phi_1 = \begin{bmatrix} 0 \\ -1,87 \end{bmatrix}, \quad D_1 = \begin{bmatrix} 0 \\ -0,95 \end{bmatrix},$$

$$A_2 = \begin{bmatrix} 0,5 & 0 \\ 1 & 1,25 \end{bmatrix}, \quad A_{21} = \begin{bmatrix} 1 & 0 \\ 0 & 0 \end{bmatrix}, \quad B_2 = \begin{bmatrix} 0 & 0 \\ 0 & -1 \end{bmatrix},$$

$$\Phi_2 = \begin{bmatrix} 0 \\ -1 \end{bmatrix}, \quad D_2 = \begin{bmatrix} 0 \\ -1 \end{bmatrix},$$

$$\mu_1 = 1, \quad \mu_2 = 0,5, \quad C_{f1} = C_{f2} = \begin{bmatrix} 1 & 0 \end{bmatrix}.$$

Решается задача синтеза дискретного управления, обеспечивающего на конечном интервале стабилизацию при максимальном периоде дискретности  $h$ .

На основе теоремы 4 и численного решения при  $q_1 = 0,03$ ,  $q_2 = 0,79$ ,  $Q_0 = = \text{diag}\{ 0,5 \ 0,5 \ 0,5 \ 0,5 \ 0,5 \ 0,5 \ 0 \ 0 \}$  совокупности задач оптимизации с ЛМН ограничениями и периоде дискретности  $h = 2,5$  с получен регулятор (16) с переменными коэффициентами  $K(t_k)$ . Изменения коэффициентов усиления регуляторов на рассматриваемом интервале  $[0, 60$  с] для непрерывной и дискретной подсистем показаны на рис. 1.

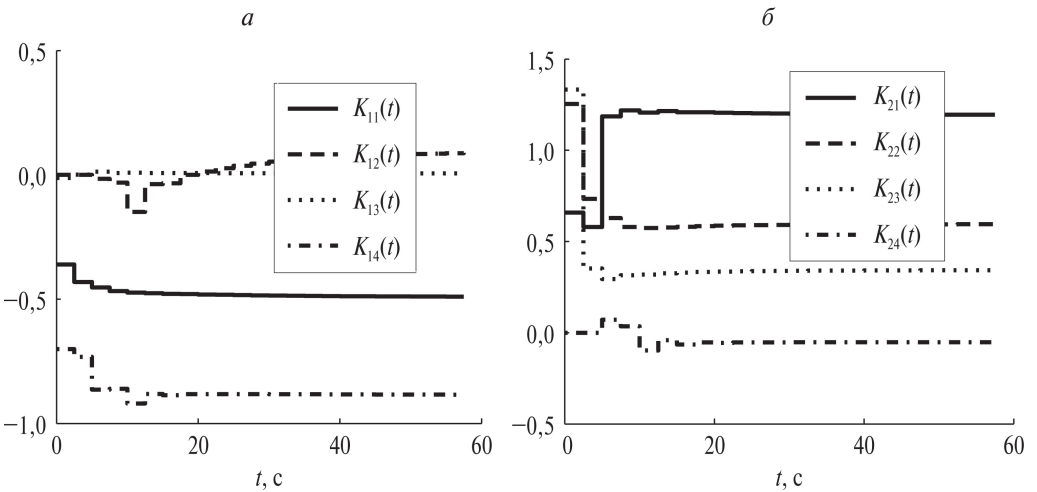


Рис. 1. Изменения коэффициентов усиления регулятора: *a* – для непрерывной подсистемы; *б* – для дискретной подсистемы.

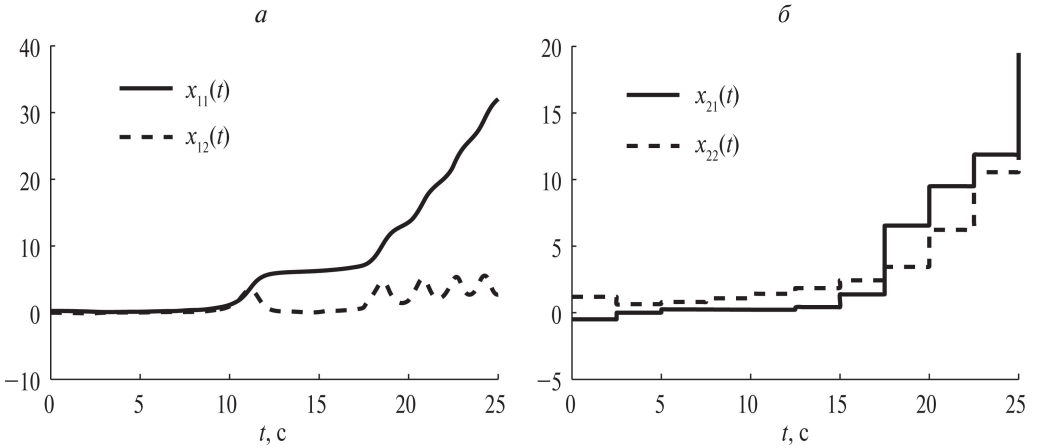


Рис. 2. Изменения координат состояния системы без регулятора и возмущений: *a* – непрерывной подсистемы; *б* – дискретной подсистемы.

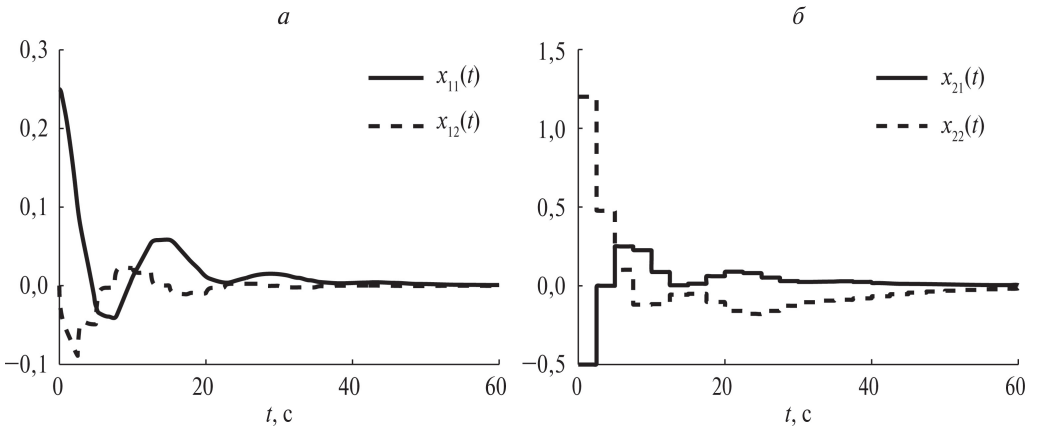


Рис. 3. Изменение координат состояния без учета возмущений: *a* – непрерывной подсистемы; *б* – дискретной подсистемы.

Моделирование рассматриваемой дискретно-непрерывной системы проводилось при конкретных нелинейностях  $\varphi_1(x_1) = \sin(C_{f1}x_1)$ ,  $\varphi_2(x_2) = 0,7071 |C_{f2}x_2|$ , удовлетворяющих условию (2). Результаты моделирования системы без регулятора и возмущений с периодом дискретности  $h = 2,5$  с показаны на рис. 2. Из графиков видно, что система без регулятора является неустойчивой.

Проведено моделирование непрерывно-дискретной системы с полученным регулятором при различных начальных условиях. На рис. 3 представлены переходные процессы в непрерывной и дискретной подсистемах с полученным регулятором при начальных условиях  $x_0 = [0,25 \ 0 \ -0,5 \ 1,2]^T$  без возмущений. На рис. 4 показаны переходные процессы в непрерывной и дискретной подсистемах с полученным регулятором при тех же начальных условиях с

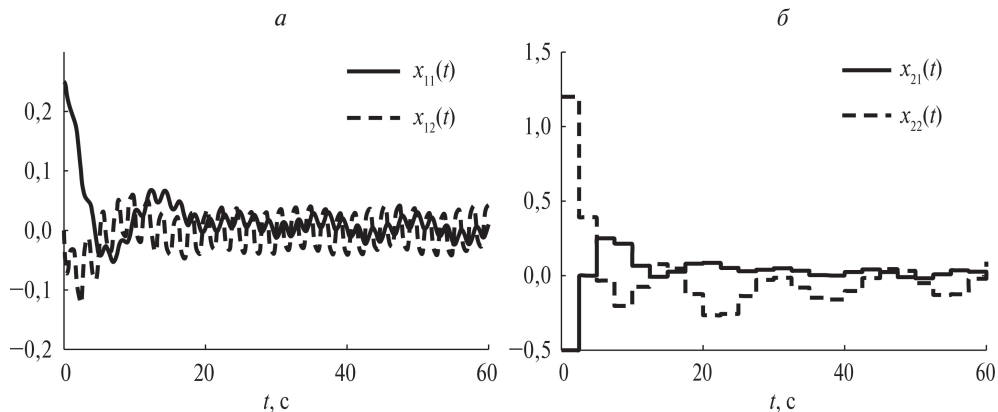


Рис. 4. Изменение координат состояния с учетом возмущений: *а* – непрерывной подсистемы; *б* – дискретной подсистемы.

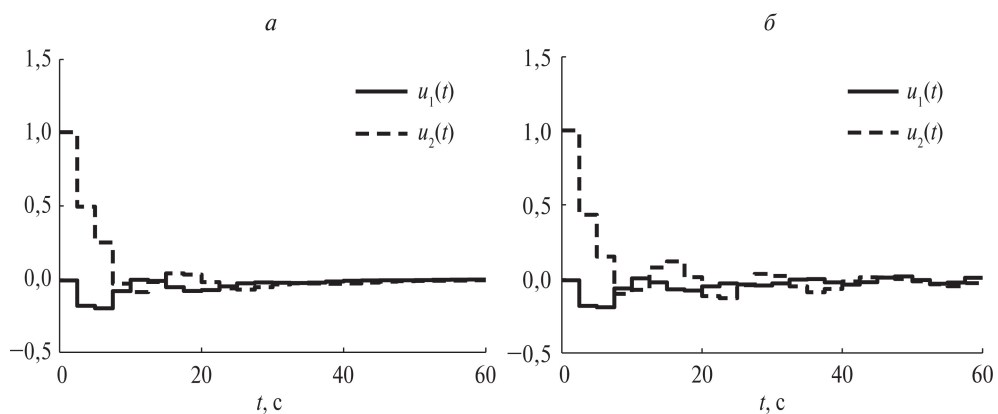


Рис. 5. Изменение управляющего сигнала непрерывной и дискретной подсистем: *а* – без учета возмущений; *б* – с учетом возмущений.

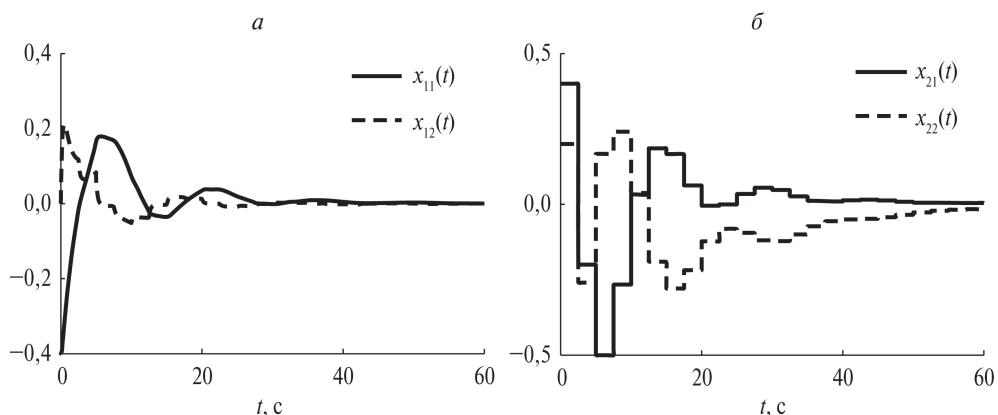


Рис. 6. Изменение координат состояния без учета возмущений с начальными условиями  $x_0 = [ -0,4 \ 0 \ 0,4 \ 0,2 ]^T$ : *а* – непрерывной подсистемы; *б* – дискретной подсистемы.

учетом возмущений, заданных функциями  $w_1(t) = \sin(2 \cos(3t))/5$  и  $w_2(t_k) = \sin(k)/10$ . При этом изменения управляющих сигналов непрерывной и дискретной подсистем представлены на рис. 5.

На рис. 6 показаны изменения координат состояния непрерывной и дискретной подсистем, полученные при моделировании с другими начальными условиями:  $x_0 = [-0,4 \ 0 \ 0,4 \ 0,2]^T$ .

Как видно из рис. 3–6, синтезированный дискретный регулятор обеспечивает стабилизацию рассматриваемой непрерывно-дискретной системы при  $h = 2,5$  с.

## 6. Заключение

Для непрерывно-дискретных систем с липшицевыми нелинейностями, неопределенными возмущениями предложены способы оценивания состояния в виде эллипсоидов, ограничивающих состояния для процессов с начальными данными из заданного эллипсоида, и синтеза дискретного управления, обеспечивающего подавление начальных отклонений и влияние неопределенных возмущений. С использованием квадратичной функции Ляпунова с изменяющимися параметрами получены условия ограниченности на конечном интервале в виде разрешимости задачи оптимизации с дифференциально-разностными линейными матричными неравенствами. При кусочно-линейной аппроксимации решения ДЛМН задачи оценивания состояния и синтеза дискретного управления сведены к совокупности задач оптимизации с ЛМН, для численного решения которых применены методы полуопределенного программирования. Результаты применены для оценивания состояния и синтеза дискретного управления, обеспечивающего стабилизацию на конечном интервале конкретной непрерывно-дискретной системы с неопределенными возмущениями.

## ПРИЛОЖЕНИЕ

*Доказательство теоремы 4.* В случае периодического дискретного управления ( $h_k = h = \text{const} > 0$ ), как показано в разделе 3, задача построения оценки состояния в виде ограничивающего эллипсоида сводится к совокупности задач оптимизации  $\text{trace}(Q(t_{k+1})) \rightarrow \min$  с ЛМН ограничениями (10), (12)–(14) для всех  $k = 0, \dots, N-1$ . С учетом (20) матричное неравенство (10) здесь принимает вид:

$$\begin{bmatrix} Q(t_{k+1}) - \beta_2 \Phi_{z2} \Phi_{z2}^T & (\bar{A}_{z2} + \bar{B}KC)Q(t_k) & D_{z2} & 0 \\ Q(t_k)(\bar{A}_{z2} + \bar{B}KC)^T & \alpha_2 Q(t_k) & 0 & Q(t_k)C_2^T C_{f2}^T \\ D_{z2}^T & 0 & (1 - \alpha_2)I & 0 \\ 0 & C_{f2}C_2 Q(t_k) & 0 & \frac{\beta_2}{\mu_2} I \end{bmatrix} \geq 0.$$

Далее, умножая последнее неравенство слева на матрицу  $\text{diag}(I, C, I, I)$ , а справа – на  $\text{diag}(I, C^T, I, I)$  и вводя замену  $Y_k = KCQ(t_k)C^T$ , приходим к РЛМН (21) относительно матричных переменных  $Q(t_{k+1})$  и  $Y_k$ . Ограничение на управление (17) обеспечивается ЛМН (22), где  $U = \text{diag}(U_1, U_2)$ .

Теорема 4 доказана.

## СПИСОК ЛИТЕРАТУРЫ

1. *Pinney E.* Ordinary Difference-Differential Equations. University of California Press, 1958.
2. *Bellman R., Cooke K.L.* Differential-Difference Equations. New York; London, 1963.
3. *De la Sen M.* Adaptive Control of Single-Input Single-Output Hybrid Systems Possessing Interacting Discrete- and Continuous-Time Dynamics // Discrete Dynamics in Nature and Society. 2005. No. 3. P. 229–239.
4. *Pepe P.* On the Asymptotic Stability of Coupled Delay Differential and Continuous Time Difference equations // Automatica. 2005. V. 41. No. 1. P. 107–112.
5. *Pepe P., Jiang Z.-P., Fridman E.* A new Lyapunov-Krasovskii Methodology for Coupled Delay Differential and Difference Equations // Int. J. Control. 2008. V. 81. No. 1. P. 107–115.
6. *Marchenko V.M., Loiseau J.-J.* On the Stability of Hybrid Difference-Differential Systems // Differential Equations. 2009. V. 45. No. 5. P. 743–756.
7. *Gu K., Liu Y.* Lyapunov–Krasovskii Functional for Uniform Stability of Coupled Differential-functional Equations // Automatica. 2009. V. 45. P. 798–804.
8. *Hetel L., Fiter C., Omran H., Seuret A., Fridman E., Richard J.-P., Niculescu S.* Recent developments on the stability of Systems with Aperiodic Sampling: An Overview // Automatica. 2017. V. 76. P. 309–335.
9. *Маликов А.И.* Оценивание состояния и стабилизация нелинейных систем с дискретным управлением и неопределенными возмущениями // АИТ. 2021. № 4. С. 96–120.  
*Malikov A.I.* State Estimation and Stabilization of Nonlinear Systems with Sampled-Data Control and Uncertain Disturbances // Autom. Remote Control. 2021. V. 82. No. 4. P. 634–653.
10. *Malikov A.I.* State Observer for Continuous Lipschitz Systems with Discrete Measurements and Uncertain Disturbances // Lobachevskii J. Math. 2021. V. 42. No. 9. P. 2172–2178.
11. *Маликов А.И.* Оценивание состояния и управление линейных аperiodических импульсивных систем при неопределенных возмущениях // Изв. ВУЗов. Математика. 2021. № 6. С. 43–54.  
*Malikov A.I.* State Estimation and Control for Linear Aperiodic Impulsive Systems with Uncertain Disturbances // Russian Mathematics. 2021. V. 65. No. 6. P. 36–46.
12. *Malikov A.I.* State Estimation of the Nonlinear Lipschitz Systems with Impulses under Uncertain Disturbances // Lobachevskii J. Math. 2022. V. 43. No. 5. P. 1152–1158.
13. *Malikov A.I.* Observer Based Control for Continuous Systems with Discrete Measurements and Uncertain Disturbances // Lobachevskii J. Math. 2023. V. 44. No. 5. P. 1728–1737.

14. *Holicki T., Carsten W., Scherer C.W.* Output Feedback Synthesis for a Class of Aperiodic Impulsive Systems // IFAC PapersOnLine. 2020. V. 53. Is. 2. P. 7299–7304.
15. *Rios H., Hetel L., Efimov D.* Robust Output-Feedback Control for Uncertain Linear Sampled-Data Systems: A 2D Impulsive System Approach // Nonlinear Analysis: Hybrid Systems. 2019. P. 177–201.
16. *Hu L.S., Lam J., Cao Y.Y., Shao H.H.* An LMI Approach to Robust H2 Sampled-Data Control for Linear Uncertain Systems // IEEE Trans. Systems, Man and Cybernetics, Part B: Cybernetics. 2003. V. 33. No. 1. P. 149–155.
17. *Kim J.H., Hagiwara T.* Extensive Theoretical/Numerical Comparative Studies on H2 and Generalized H2 Norms in Sampled-data Systems // Int. J. Control. 2017. V. 90. No. 11. P. 2538–2553.
18. *Geromel J.C., Colaneri P., Bolzern P.* Differential Linear Matrix Inequality in Optimal Sampled-Data Control // Automatica. 2019. V. 100. P. 289–298.
19. *Бирюков Р.С.* Обобщенное  $H_2$ -управление линейным непрерывно-дискретным объектом на конечном горизонте // АиТ. 2020. № 8. С. 40–53.  
*Birukov R.S.* Generalized  $H_2$ -optimal Control of Continuous-discrete Linear Plant on Finite Horizont // Autom. Remote Control. 2020. V. 81. No. 8. P. 1394–1404.
20. *Марченко В.М., Борковская И.М.* К вопросу о стабилизации скалярных гибридных дифференциально-разностных систем // Труды БГТУ. 2020. Серия 3. № 2. С. 5–11.
21. *Rasina I.V., Fesko O.V., Usenko O.V.* Analytical Design of Controllers for Discrete-continuous Systems with Linear Control // Program. Syst. Theor. Appl. 2021. V. 12. No. 2(49). P. 121–135.
22. *Taousser F.Z., Djouadi S.M., Tomsovic K.* A Dwell Time Approach for the Stabilization of Mixed Continuous/Discrete switched systems // Automatica. 2022. V. 142. Article 110386.
23. *Акманова С.В.* О стабилизации нелинейных непрерывно-дискретных динамических систем с постоянным шагом дискретизации // АиТ. 2024. № 9. С. 41–58.  
*Акманова С.В.* Stabilization of Nonlinear Continuous-Discrete Dynamic Systems with a Constant Sampling Step // Autom. Remote Control. 2024. V. 85. No. 9. P. 864–878.
24. *Amato F., Ambrosino R., Ariola M., Cosentino C., De Tommasi G.* Finite Time Stability and Control. London: Springer-Verlag, 2014.
25. *Маликов А.И.* Оценивание состояния и стабилизация непрерывных систем с неопределенными нелинейностями и возмущениями // АиТ. 2016. № 5. С. 19–36.  
*Malikov A.I.* State Estimation and Stabilization of Continuous Systems with Uncertain Nonlinearities and Disturbances // Autom. Remote Control. 2016. V. 77. No. 5. P. 764–778.
26. *Маликов А.И.* Оценивание состояния и стабилизация дискретных систем с неопределенными нелинейностями и возмущениями // АиТ. 2019. № 11. С. 59–82.  
*Malikov A.I.* State Estimation and Stabilization of Discrete-time Systems with Uncertain Nonlinearities and Disturbances // Autom. Remote Control. 2019. V. 80. No. 11. P. 1976–1995.

27. *Маликов А.И., Дубакина Д.И.* Численные способы решения задач оптимизации с дифференциальными линейными матричными неравенствами // Изв. ВУЗов. Математика, 2020. № 4. С. 74–86.  
*Malikov A.I., Dubakina D.I.* Numerical Methods for Solving Optimization Problems with Differential Linear Matrix Inequalities // Russian Mathematics. 2020. V. 64. No. 4. P. 64–74.

*Статья представлена к публикации членом редколлегии Р.А. Мунасыповым.*

Поступила в редакцию 04.09.2024

После доработки 21.11.2024

Принята к публикации 10.12.2024